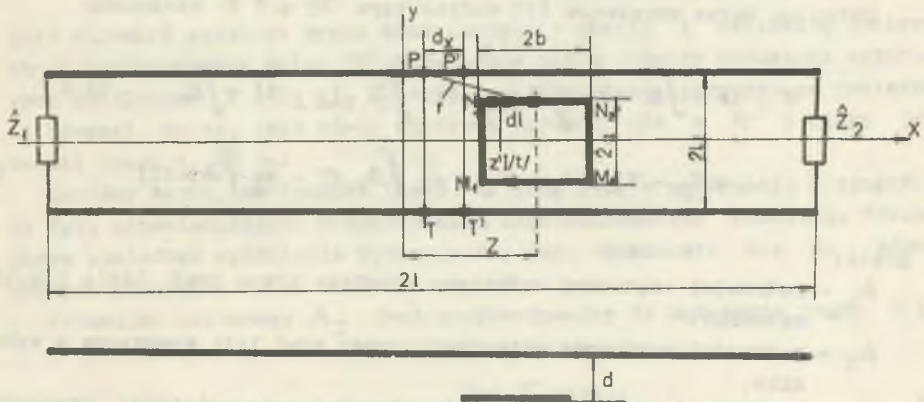


Romuald Dusza
Instytut Podstawowych Problemów
Elektrotechniki i Energoelektroniki
Politechniki Śląskiej

BEZPRZEWODOWY PRZESYŁ INFORMACJI
W WARUNKACH SILNEGO TŁUMIENIA SYGNAŁU

Streszczenie. Bazując na pewnych założeniach upraszczających skonstruowano model matematyczny układu linia długa-wzbudnik w postaci ramy prostokątnej zajmującej zmienne położenie wzdłuż linii. Przedstawione związki podają zależność między napięciem na końcu linii, a prądem płynącym w wzbudniku.

Dana jest linia długa dwuprzewodowa o długości $2l$ i odległości między przewodami $2l_1$, której obydwa końce obciążone są odpowiednio impedancjami Z_1 i Z_2 . Wzdłuż osi linii przemieszcza się wzbudnik w postaci ramy o wymiarach $2a \times 2b$, w którym wymuszony jest prąd sinusoidalny o wartości skutecznej I oraz pulsacji $\omega = 2\pi f$. Abstrahując od realizacji technicznej wymuszenia prądu założymy, że do wzbudnika ramowego włączona jest idealna SPM $I(t)$ sinusoidalna o wartości skutecznej I i pulsacji $\omega = 2\pi f$.



Rys. 1

Zastosujemy teraz uogólnione prawo Ohma i prawo zachowania ładunku do elementu dx rozpatrywanej linii.

Niech $i(x, t)$ jest natężeniem prądu w P w chwili t . Uwzględniając symetrię układu natężenia prądu w T będzie $-i(x, t)$. Oznaczmy przez $u(x, t)$

różnicę potencjałów opóźnionych V_P i V_T w punktach P i T. Jeżeli E jest uogólnionym polem elektrycznym w P, to prawo Ohma zapisane dla elementu dl przewodnika ma postać

$$\frac{i}{\gamma S} dl = E dl, \quad (1)$$

gdzie:

S - przekrój drutu, zaś

γ - konduktywność właściwa.

Zgodnie z definicją uogólnionego pola elektrycznego (1)

$$E = -\text{grad } V - \frac{\partial A}{\partial t}, \quad (2)$$

gdzie:

V - potencjał opóźniony skalarny,

A - potencjał opóźniony wektorowy.

Pierwszy składnik definicji (2) oznaczamy przez $E_{\text{stat}} = -\text{grad } V$ i nazywamy go natężeniem pola elektrostatycznego natomiast drugi składnik oznaczamy przez $E_{\text{ind}} = \frac{\partial A}{\partial t}$ i nazywamy natężeniem pola elektrycznego indukcji. Pole elektryczne indukcji E_{ind} w rozpatrywanym układzie posiada dwie składowe a mianowicie $E_{\text{ind } i}$ oraz $E_{\text{ind } I}$ przy czym pierwszą z nich wywołuje prąd $i(x, t)$ linii natomiast drugą wywołuje prąd $I(t)$ wymuszony w wzbudniku ramowym.

Całkując teraz wyrażenie (1) wzdłuż toru $PP' + T'T$ otrzymamy

$$\begin{aligned} R i dx &= \int E dl = \int E_{\text{stat}} dl + \int E_{\text{ind } i} dl + \int E_{\text{ind } I} dl = \\ &= V_P - V_{P'} + V_{T'} + V_T - \frac{\partial}{\partial t} \int A_i dl - \frac{\partial}{\partial t} \int A_I dl; \end{aligned} \quad (3)$$

gdzie:

A_i - potencjał wektorowy opóźniony wywołany przez prąd linii $i(x, t)$, natomiast

A_I - potencjał wektorowy wytworzony przez prąd $I(t)$ wymuszony w wzbudniku,

R - rezystancja jednostkowa linii odpowiadająca ustalonej częstotliwości w chwili t

$$V_P - V_T = u(x, t) \quad (4)$$

$$V_{P'} - V_{T'} = u(x, t) + \frac{\partial u(x, t)}{\partial x} dx. \quad (5)$$

Jeżeli punkt P leży dostatecznie daleko od obydwóch końców linii to pole $E_{ind i} = -\frac{\partial A_i}{\partial t}$ ma tylko składową wzdłuż linii. Można więc całkę liniową wzdłuż toru $PP' + T'T \int E_{ind i} dl$ zastąpić całką rozciągniętą na kontur zamknięty $PP'T'TP$. Zgodnie z twierdzeniem Stokesa całka

$$\oint_{PP'T'TP} E_{ind} dl = -\frac{\partial}{\partial t} \int_{PP'T'TP} A_i dl = -\frac{\partial}{\partial t} \int_{S_{PP'T'TP}} (\text{rot} A_i) nds = -\frac{\partial \Phi_i}{\partial t} \quad (6)$$

jest równa strumieniowi pola indukcji magnetycznej przepływającego przez kontur w jednostce czasu.

Równanie (3) można teraz zapisać w postaci:

$$R \, idx + \frac{\partial u}{\partial x} dx = -\frac{\partial \Phi_i}{\partial t} - \frac{\partial}{\partial t} \int_{PP'T'T} A_i dl \quad (7)$$

W równaniu tym drugi składnik po prawej stronie stanowi wymuszenie pochodzenia zewnętrznego w stosunku do linii.

Na mocy prawa zachowania ładunku dla odcinka dx jednego z drutów np. PP' możemy napisać

$$\frac{\partial i}{\partial x} + Gu = -\frac{\partial q(x,t)}{\partial t}, \quad (8)$$

gdyż strumień gęstości prądu opuszczający w chwili t całkowitą powierzchnię ograniczającą walec PP' składający się z różnicy strumieni dotyczących przekrojów P i P' tj. $\frac{\partial i}{\partial x} dx$ oraz strumienia dotyczącego powierzchni bocznej $Gu \, dx$, jest równy ubytkowi ładunku qdx w PP' w ciągu jednostki czasu o $\frac{\partial q}{\partial t} dx$.

Założmy teraz, że długość linii l jest mała w porównaniu z długościami fal, odpowiadającymi rozpatrywanym częstotliwościom roboczym. Wówczas można zaniedbać opóźnienie potencjałów, tzn. ograniczyć się do stanów quasiustalonych.

Potencjał wektorowy A_I jest proporcjonalny do natężenia prądu $I(t)$

$$A_I(x, z, t) = \frac{\mu_0}{4\pi} \int_{N_1 N_2 + M_2 M_1} \frac{I(t) dl}{r}, \quad (9)$$

gdzie r - jest odległością między ustalonym punktem wzdłuż przewodów linii o współrzędnej x a zmiennym punktem wzdłuż boków ramy $N_1 N_2$ i $M_1 M_2$ równoległych do linii o współrzędnej z' , ze względu na które odbywa się całkowanie.

W przypadku, gdy rozpatrywany punkt P jest dostatecznie odległy od końców linii to Φ_1 reprezentuje strumień magnetyczny proporcjonalny do $i(x,t)$ i równa się $Lidx$, gdzie L - współczynnik samoindukcji przypadający na jednostkę długości linii. Różnica potencjałów skalarnych jest proporcjonalna do ładunku q i równa się $\frac{q}{C}$, gdzie C - pojemność jednostkowa linii.

Po tych założeniach upraszczających możemy napisać równania (7) (8) w postaci

$$L \frac{\partial i(x,t)}{\partial t} + R i(x,t) = - \frac{\partial u(x,t)}{\partial x} - \frac{\partial A_I(x,z,t)}{\partial t} \quad (10)$$

$$C \frac{\partial u(x,t)}{\partial t} + G u(x,t) = - \frac{\partial i}{\partial x}, \quad (11)$$

gdzie:

A_I - jest potencjałem wektorowym wywołanym wzdłuż linii przez wymuszony prąd w wzbudniku ramowym.

Dla ustalonego z przebadajmy zachowanie się potencjału wektorowego $A_I(x,z,t)$ ze względu na zmienną x odmierzoną wzdłuż linii. Na mocy wzoru (9) mamy

$$\begin{aligned} A_I(x,z,t) &= \frac{\mu_0 I(t)}{4\pi} \int_{z-b}^{z+b} \frac{dz'}{\sqrt{(x-z')^2 + (l_1-a)^2 + d^2}} - \int_{z-b}^{z+a} \frac{dz'}{\sqrt{(x-z')^2 + (l_1+a)^2 + d^2}} \\ &= \frac{\mu_0 I(t)}{4\pi} \ln \left| \frac{[(x-z+b) + \sqrt{(x-z+b)^2 + (l_1-a)^2 + d^2}][(x-z+b) + \sqrt{(x-z+b)^2 + (l_1+a)^2 + d^2}]}{[(x-z-b) + \sqrt{(x-z-b)^2 + (l_1-a)^2 + d^2}][(x-z-b) + \sqrt{(x-z-b)^2 + (l_1+a)^2 + d^2}]} \right|, \end{aligned} \quad (12)$$

gdzie $I(t) = I_m \sin \omega t$.

Wzór (11) można zapisać w postaci

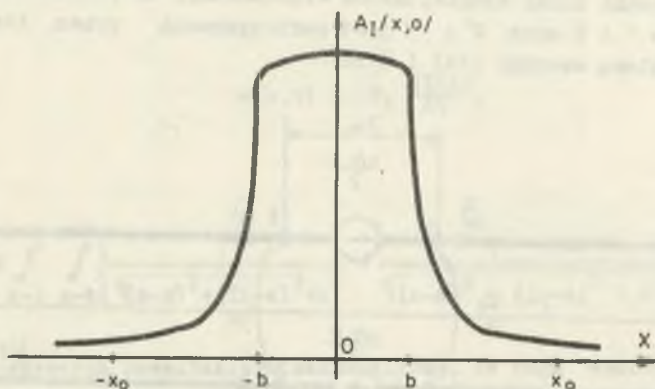
$$A_I(x,z,t) = A_I(x,z) \sin \omega t.$$

Widzimy więc, że dla dowolnego x potencjał A_I jest w fazie z prądem $I(t)$. Jest to wynikiem zaniedbania opóźnienia potencjałów. Wykres funkcji $A_I(x,z)$ dla $z=0$ ma postać przedstawioną na rys. 2.

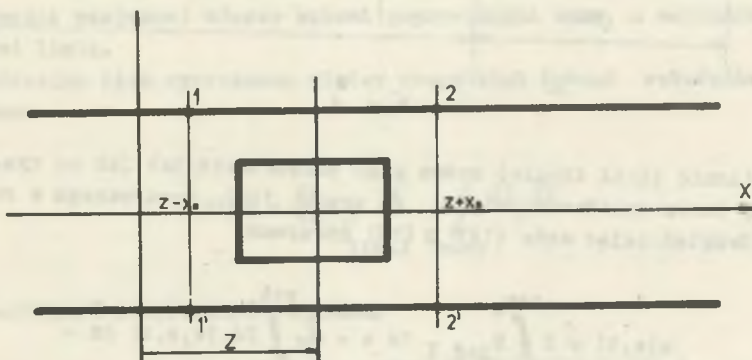
Z wzoru (12) wynika, że pole elektryczne indukcji wywołane przez prąd wzbudnika $I(t)$ równe $E_{ind I} = - \frac{\partial A_I}{\partial t}$ praktycznie rzecz biorąc jest skurpione w przedziale $(z-x_0, z+x_0)$. Ponieważ długość tego przedziału $2x_0$

jest bardzo mała w porównaniu z długością linii 1 ($l \gg 2x_0$) ($L \approx 2x_0$, $R \approx 2x_0 \approx 0$) to dla $x \in (z-x_0, z+x_0)$ równanie (10) przyjmie postać

$$-\frac{\partial u(x,t)}{\partial x} - \frac{\partial A_I(x,z,t)}{\partial t} = 0 \quad (13)$$



Rys. 2



Rys. 3

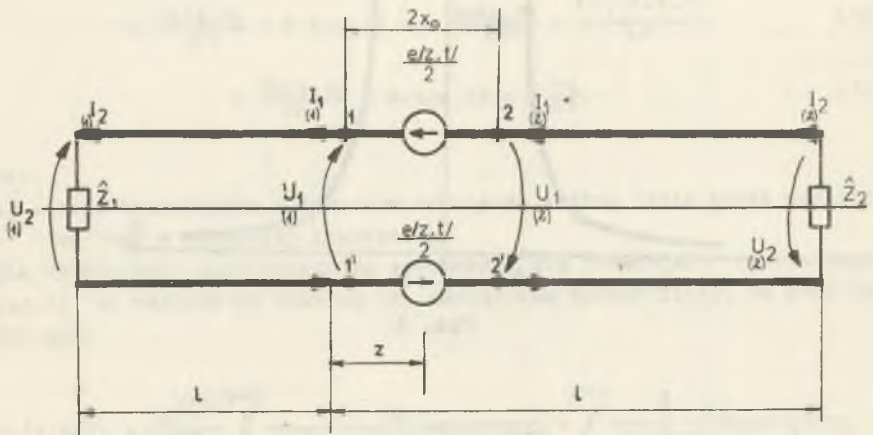
Całkując równanie (13) wzdłuż linii od punktu 1 do punktu 2 oraz od 2' do 1' otrzymamy

$$\int_1^2 \frac{\partial u(x,t)}{\partial x} dx = - \int_1^2 \frac{\partial A_I(x,z,t)}{\partial t} dx = \int_1^2 E_{ind} I dx = \frac{e(z,t)}{2} \quad (14)$$

Ze względu na symetrię

$$\int_1^2 \frac{\partial u(x,t)}{\partial x} dx = - \frac{e(z,t)}{2} \quad (15)$$

Z punktu widzenia linii długiej można więc uważać, że różnica potencjałów między węzłem 1 i 2 oraz 2' i 1' jest podtrzymywana przez idealną SEM $e(z,t)$ określoną wzorami (14) i (15).



Rys. 4

Zasilanie linii długiej można więc przedstawić tak jak na rys. 4. Określmy teraz zależność $e(z,t)$ od prądu $I(t)$ wymuszanego w ramce wzбудnika. Uwzględniając wzór (12) i (14) otrzymamy

$$\begin{aligned} e(z,t) &= 2 \int_{z-x_0}^{z+x_0} E_{\text{ind}} I dx = - \frac{\partial}{\partial t} \int_{z-x_0}^{z+x_0} 2A_I(x,z,t) dx = \\ &= \left[\frac{\mu_0}{4} 2 \int_{z-x_0}^{z+x_0} \int_{z-b}^{z+b} \left(\frac{1}{\sqrt{(x-z')^2 + (l_1-a)^2 + d^2}} - \right. \right. \quad (16) \\ &\quad \left. \left. = \frac{1}{\sqrt{(x-z')^2 + (l_1+a)^2 + d^2}} \right) dx dz \right] \frac{dI(t)}{dt} \end{aligned}$$

Gdyby w wyrażeniu stojącym w nawiasie kwadratowym wzoru (16) całkowanie ze względu na współrzędną x odbywało się wzdłuż całej linii, to stanowiłoby ono dokładnie [2] współczynnik indukcyjności wzajemnej między przewodami linii a równoległymi do niej przewodami ramy wzbudnika. Ponieważ jednak, jak pokazaliśmy, potencjał $A_I(x, z, t)$ dla $x \notin (z-x_0, z+x_0)$ jest pomijalnie mały, możemy więc we wzorze (16) powiększyć granice całkowania ze względu na x nie zmieniając istoty rozumowania.

Mamy więc

$$e(z, t) = -M_1 \frac{dI(t)}{dt}, \quad (17)$$

gdzie

$$M_1 = \frac{\mu_0}{4\pi} \int_{z-1}^{z+1} \int_{z-b}^{z+b} \left[\frac{1}{\sqrt{(x-z)^2 + (l_1-a)^2 + d^2}} - \frac{1}{\sqrt{(x-z')^2 + (l_1+a)^2 + d^2}} \right] dx dz' \quad (18)$$

W dotychczasowych rozważaniach zakładaliśmy, że rama wzbudnika znajduje się dostatecznie daleko od końców linii. Ponieważ końce linii są zwarte odpowiednio przez impedancje \hat{Z}_1 i \hat{Z}_2 , należy więc w przypadku położenia ramy wzbudnika w pobliżu końców linii uwzględnić również współczynnik indukcyjności wzajemnej między bokami poprzecznymi ramy a odcinkami zawierającymi linię.

Uwzględniając więc sprzężenia między wszystkimi bokami wzbudnika i linii otrzymamy

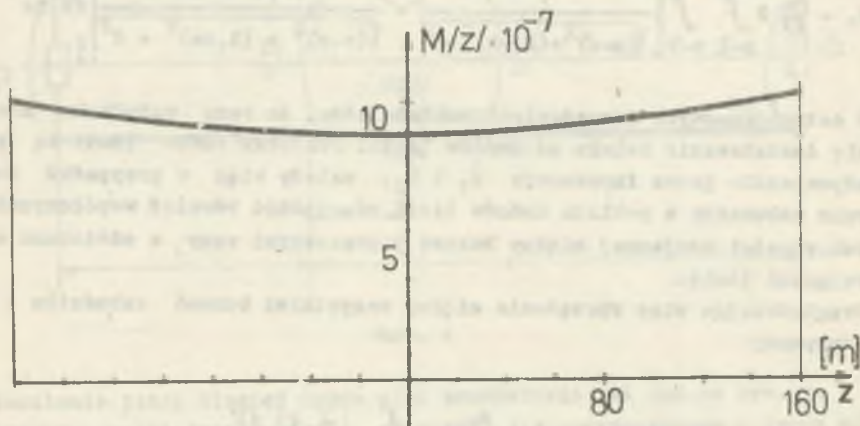
$$M(z) = \frac{\mu_0}{4\pi} \oint_{C_{\text{linii}}} \oint_{C_{\text{ramy}}} \frac{dl dl'}{r} \quad (19)$$

a po podwójnym scałkowaniu otrzymamy

$$\begin{aligned} M(z) = & \frac{\mu_0}{4\pi} \left[4b \ln \left| \frac{1-z + \sqrt{(1-z)^2 + (l_1-a)^2 + d^2}}{-1-z + \sqrt{(1+z)^2 + (l_1-a)^2 + d^2}} \right| - \right. \\ & - 4b \ln \left| \frac{1-z + \sqrt{(-z)^2 + (l_1+a)^2 + d^2}}{-1-z + \sqrt{(1+z)^2 + (l_1+a)^2 + d^2}} \right| + \\ & \left. + 2a \ln \left| \frac{l_1 + \sqrt{l_1^2 + d^2 + (1-z-b)^2}}{-l_1 + \sqrt{l_1^2 + d^2 + (1-z-b)^2}} \right| - \right] \end{aligned}$$

$$\begin{aligned}
 & - 2a \ln \left| \frac{l_1 + \sqrt{l_1^2 + d^2 + (1-z-b)^2}}{-l_1 + \sqrt{l_1^2 + d^2 + (1-z+b)^2}} \right| + \\
 & + 2a \ln \left| \frac{l_1 + \sqrt{l_1^2 + d^2 + (1+z-b)^2}}{-l_1 + \sqrt{l_1^2 + d^2 + (1+z+b)^2}} \right| - \\
 & - 2a \ln \left| \frac{l_1 + \sqrt{l_1^2 + d^2 + (1+z+b)^2}}{-l_1 + \sqrt{l_1^2 + d^2 + (1+z+b)^2}} \right|.
 \end{aligned} \quad (20)$$

Współczynnik indukcyjności wzajemnej w funkcji położenia ramy wzbudnika przedstawiony jest na rys. 5.



$$\begin{aligned}
 2l &= 320 \text{ m} & 2b &= 1,8 \text{ m} \\
 2l_1 &= 0,24 \text{ m} & d &= 0,05 \text{ m} \\
 2a &= 0,24 \text{ m}
 \end{aligned}$$

Rys. 5

Rozważania nasze będą ogólniejsze, jeżeli w modelu zasilania linii przedstawionym na rys. 4 za $e(z,t)$ podstawimy

$$e(z,t) = M(z) \frac{dI(t)}{dt} \quad (21)$$

zamiast wzoru (18) i (17).

Przystąpimy teraz do określenia w stanie ustalonym relacji między napięciem na jednym z końców linii np. U_2 a prądem wzbudnika I .

Jak wiadomo [4] rozwiązanie równań telegrafistów (10) i (11) w stanie ustalonym dla odcinków linii na prawo i na lewo od wzbudnika, zgodnie z oznaczeniami przedstawionymi na rys. 4 można zapisać w postaci

$$\hat{U}_{(1)}^1 = \hat{U}_{(1)}^2 \cosh \hat{\gamma}(1+z) + \hat{Z}_c \hat{I}_{(1)}^2 \sinh \hat{\gamma}(1+z) \quad (22)$$

$$\hat{I}_{(1)}^1 = \hat{I}_{(1)}^2 \cosh \hat{\gamma}(1+z) + \frac{1}{\hat{Z}_c} \hat{U}_{(1)}^2 \sinh \hat{\gamma}(1+z)$$

$$\hat{U}_{(2)}^1 = \hat{U}_{(2)}^2 \cosh \hat{\gamma}(1-z) + \hat{Z}_c \hat{I}_{(2)}^2 \sinh \hat{\gamma}(1-z) \quad (23)$$

$$\hat{I}_{(2)}^1 = \hat{I}_{(2)}^2 \cosh \hat{\gamma}(1-z) + \frac{1}{\hat{Z}_c} \hat{U}_{(2)}^2 \sinh \hat{\gamma}(1-z)$$

podającej związek między napięciem i prądem w punkcie $x=z$ linii za pomocą napięć i prądów na jej końcach.

Na końcach linii zachodzi

$$\hat{I}_{(1)}^2 = \frac{\hat{U}_{(1)}^2}{\hat{Z}_1}, \quad \hat{I}_{(2)}^2 = \frac{\hat{U}_{(2)}^2}{\hat{Z}_2} \quad (24)$$

Uwzględniając w punkcie $x=z$ linii warunki napięciowy i prądowy w postaci

$$\hat{E} = \hat{U}_{(1)}^1 + \hat{U}_{(2)}^1, \quad \hat{I}_{(1)}^1 = \hat{I}_{(2)}^1 \quad (25)$$

a następnie rozwiązując układ równań (22), (23), (24) i (25) ze względu na napięcie $\hat{U}_{(1)}^2$ otrzymamy

$$\hat{U}_{(1)}^2 = \frac{\hat{E} \left[\frac{1}{\hat{Z}_2} \cosh \hat{\gamma}(1-z) + \frac{1}{\hat{Z}_c} \sinh \hat{\gamma}(1-z) \right]}{\left[\cosh \hat{\gamma}(1+z) + \frac{\hat{Z}_c}{\hat{Z}_2} \sinh \hat{\gamma}(1+z) \right] \left[\frac{1}{\hat{Z}_2} \cosh \hat{\gamma}(1-z) + \frac{1}{\hat{Z}_c} \sinh \hat{\gamma}(1-z) \right] + \dots} \dots$$

$$+ \frac{\dots}{\left[\cosh \hat{\gamma}(1-z) + \frac{\hat{Z}_c}{\hat{Z}_2} \sinh \hat{\gamma}(1-z) \right] \left[\frac{1}{\hat{Z}_1} \cosh \hat{\gamma}(1+z) + \frac{1}{\hat{Z}_c} \sinh \hat{\gamma}(1+z) \right]}$$

(26)

gdzie

$$\hat{Z}_c = \sqrt{\frac{R + j\omega L}{G + j\omega C}}, \quad \hat{\gamma} = \sqrt{(R + j\omega L)(G + j\omega C)}$$

Jeżeli impedancje \hat{Z}_1 i \hat{Z}_2 na końcach linii są równe impedancji falowej tzn. $\hat{Z}_1 = \hat{Z}_2 = \hat{Z}_c$ to równanie (26) przyjmie postać

$$\hat{U}_{(1)2} = \frac{1}{2} \hat{E} e^{-\hat{\gamma}(1+z)}. \quad (27)$$

Jeżeli przyjąć model linii bez strat (tj. $R=0$ i $G=0$) to

$$Z_c = \sqrt{\frac{L}{C}}, \quad \hat{\gamma} = j\omega\sqrt{LC}$$

a więc równanie (27) można przepisać w postaci

$$\hat{U}_{(1)2} = \frac{1}{2} \hat{E} e^{-j\omega\sqrt{LC}(1+z)} \quad (28)$$

W równaniach (26), (27) i (28) za \hat{E} należy podstawić

$$\hat{E} = j\omega M(z)\hat{I} \quad (29)$$

gdzie współczynnik $M(z)$ wyrażony jest wzorem (20).

Jeżeli w rzeczywistej linii współczynnik tłumienia $\alpha = \text{Re } \hat{\gamma}$ jest pomijalnie mały oraz obydwie jej końce są obciążone impedancją falową to z równania (28) wynika, że niezależnie od położenia ramy wzbudnika sygnał na dowolnym końcu linii jest stały. Fakt ten można wykorzystać do przesyłu informacji z ruchomych klatek maszyn wyciągowych do centrum ich sterowania. Oprócz powyższego wniosku jakościowego analiza powyższa dostarcza nam związków ilościowych (wzory (28) i (29)), w oparciu o które można zaprojektować układ rzeczywisty dla z góry zadanych parametrów wyjściowych.

Pomiary przeprowadzone na obiekcie rzeczywistym pozwoliły ustalić współczynnik tłumienia, który dla szybu o głębokości do 400 m wynosi $\alpha = 1,31 \cdot 10^{-3}$.

Przeprowadzone doświadczenia potwierdziły słuszność przedstawionych zależności (20-28 i 29) z dokładnością 3% (dokładność przyrządów pomiarowych).

LITERATURA

- [1] Szulkin P., Pogorzelski S. - Podstawy teorii pola elektromagnetycznego. WNT Warszawa, 1964.
- [2] Tamm J.E. - Podstawy teorii elektryczności. WNT Warszawa 1967.
- [3] Moon P., Spencer D.E. - Teoria pola. PWN Warszawa 1966.
- [4] Atabiekow G.J. - Teoria liniowych obwodów elektrycznych. WNT Warszawa 1964.
- [5] Leja F. - Teoria funkcji analitycznych. PWN Warszawa 1957.

Przyjęto do druku w styczniu 1975 r.

БЕСПРОВОДНАЯ ПЕРЕДАЧА ИНФОРМАЦИИ
В УСЛОВИЯХ УСИЛЕННОГО ГЛУШЕНИЯ СИГНАЛА

Резюме

На базе определенных упрощенных исходных данных построена математическая модель системы длинная линия - возбудитель в виде прямоугольной рамы, занимающей переменное положение вдоль линии.

Представленные связи показывают зависимость между напряжением на конце линии и током, протекающим через возбудитель.

WIRELESS INFORMATION TRANSFER IN THE CIRCUMSTANCES
OF BIG SIGNAL DAMPING

Summary

Basing upon certain initial simplified data a mathematical model of long-line inductor-system has been built in the form of rectangular frame which occupies a changing position along the line.

The presented equations show the voltage dependence at the line's end and the current flowing in the inductor.